

I-3

たわみの影響を考慮したアーチの弾塑性解析

九州大学 正員 山崎徳也

〃 学生員〇石川信隆

1. 緒言

近年、構造物の軽量化と長大化が進むにつれ、軸力と曲げモーメントを受ける部材に対しては、系の変形による応力の変化を単に2次応力として無視することはできなくなってきた。特に構造物に彈性限界を越える漸増荷重が働き、崩壊に至る過程を考える場合には、支間が比較的短いときでもたわみは弾性限界時の2~4倍にも達し、支間が長大化すれば益々その傾向は大きくなることが予想される。たわみの影響を考慮したアーチの既往の研究としては、高尾氏³⁾の差分法による弾性解析があるが、弾塑性解析に関してはその例を知らない。本研究は、著者ら²⁾が先にアーチに対する新しいたわみ計算式として導いたゆー法公式を用いて、たわみによる付加曲げモーメントの2次的效果を考慮した円弧アーチの弾塑性解析法を確立し、さらにかかる影響を考察せんとするものである。

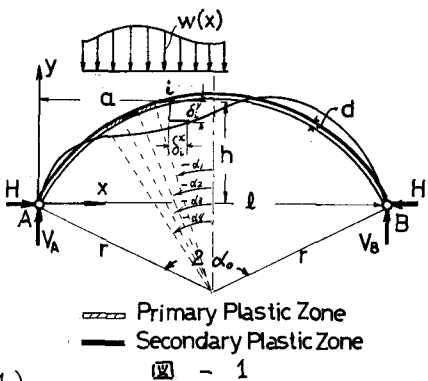
なお、本論文で用いる仮定は文献(2)に準ずる。

2. 基本式の誘導

(1) 弹性領域のみ生ずる場合

いま図-1に示すとく2センジ円弧アーチを考えれば、任意点jにおける水平、垂直変位 δ_x^* , δ_y^* およびたわみ角 θ_j はA~j間の第1および第2塑性領域を考慮して次式で与えられる²⁾:

$$\begin{aligned} \delta_x^* &= h\theta_A - \left[\int_A^j (\phi_0(h-y) + \epsilon_0 \cos \varphi) ds + \int_{P_1(A-j)}^j ((\phi_0 - \phi_*) (h-y) + (\epsilon_0 - \epsilon_*) \cos \varphi) ds \right. \\ &\quad \left. + \int_{P_2(A-j)}^j ((\phi_0 - \phi_*) (h-y) + (\epsilon_0 - \epsilon_*) \cos \varphi) ds \right] \dots (1a) \\ \delta_y^* &= a\theta_A - \left[\int_A^j (\phi_0(a-x) + \epsilon_0 \sin \varphi) ds + \int_{P_1(A-j)}^j ((\phi_0 - \phi_*) (a-x) + (\epsilon_0 - \epsilon_*) \sin \varphi) ds \right. \\ &\quad \left. + \int_{P_2(A-j)}^j ((\phi_0 - \phi_*) (a-x) + (\epsilon_0 - \epsilon_*) \sin \varphi) ds \right] \dots (1b) \\ \theta_j &= \theta_A - \left[\int_A^j \phi_0 ds + \int_{P_1(A-j)}^j (\phi_0 - \phi_*) ds + \int_{P_2(A-j)}^j (\phi_0 - \phi_*) ds \right] \dots (1c) \end{aligned}$$



ここに ϕ_0 , ϕ_* , ϵ_0 および ϵ_* , ϵ_1 , ϵ_2 はそれぞれ弾性、第1弾塑性、第2弾塑性状態における曲率の変化および軸線の縮みで矩形断面の場合には次式のごとくなられ、また積分範囲を示す $P_1(A-j)$, $P_2(A-j)$ はそれぞれA~j間のアーチ外縁面での第1, 第2塑性領域の弦軸方向の長さを表わす。

$$\begin{aligned} \text{すなわち}, \quad \frac{\phi_0}{\phi_*} = \frac{\phi_*}{\phi_1} = \frac{M}{M_y} = m, \quad \frac{\phi_1}{\phi_*} = \frac{\phi_*}{\phi_2} = \frac{\pm 4(1-m)^3}{[3(1-m)-m]^2}, \quad \frac{\phi_2}{\phi_*} = \frac{\phi_*}{\phi_2} = \frac{\pm 1}{\sqrt{3-3m^2-2m}} \\ \frac{\epsilon_0}{\epsilon_y} = \frac{\epsilon_y}{\epsilon_*} = \frac{N}{N_y} = n, \quad \frac{\epsilon_1}{\epsilon_y} = \frac{\epsilon_y}{\epsilon_*} = \frac{4(1-m)^2(2m-2+m)}{[3(1-m)-m]^2}+1, \quad \frac{\epsilon_2}{\epsilon_y} = \frac{\epsilon_y}{\epsilon_*} = \frac{n}{\sqrt{3-3m^2-2m}} \end{aligned} \quad (2)$$

$\phi_0 = M_y/EI$, $\epsilon_y = \delta_y/E$, M_y : 純曲げによる降伏曲げモーメント, N_y : 軸力のみによる全断面降伏力。なお、式(1a), (1b), (1c)中のA端のたわみ角である θ_A は、支点の境界条件 $\delta_B^* = 0$ より次式のごとく求められる。 $\theta_A = \int_A^B \left\{ \phi_0 \frac{l-x}{l} + \epsilon_0 \frac{\sin \varphi}{l} \right\} ds + \int_{P_1(A-B)} \left\{ (\phi_0 - \phi_*) \frac{l-x}{l} + (\epsilon_0 - \epsilon_*) \frac{\sin \varphi}{l} \right\} ds + \int_{P_2(A-B)} \left\{ (\phi_0 - \phi_*) \frac{l-x}{l} + (\epsilon_0 - \epsilon_*) \frac{\sin \varphi}{l} \right\} ds$

一方、任意点の曲げモーメント M_i は水平、垂直変位 δ_i^x, δ_i^y による付加曲げモーメントを考慮し、また軸力 N_i は変形前後とも変わらないとすればそれぞれ次式のごとく表わされる。

$$M_i = M_0(x + \delta_i^x) - H \cdot (y - \delta_i^y), \quad N_i = N_{0(i)} + H \cdot \cos \varphi \quad \dots \dots \dots \quad (4)$$

ただし、 $M_0(x + \delta_i^x)$ および $N_{0(i)}$ はアーチ AB を単純アーチばかりと見做したときの荷重によるじまぐの曲げモーメントおよび軸力を示す。

さて、不静定力を水平反力 H とすれば、これは支点の境界条件 $\delta_B^x = 0$ より以下のごとく求められる。まず式(1a)に $n=0, i=B$ とおけば

$$\delta_B^x = - \left[\int_A^B \{ \Phi(-y) + \varepsilon_0 \cos \varphi \} ds + I_p \right] = 0 \quad \dots \dots \dots \quad (5)$$

$$\text{ただし, } I_p = \int_{P(A \sim B)} \{ (\Phi - \Phi_0)(-y) + (\varepsilon_1 - \varepsilon_0) \cos \varphi \} ds + \int_{B(A \sim B)} \{ (\Phi - \Phi_0)(-y) + (\varepsilon_1 - \varepsilon_0) \cos \varphi \} ds$$

次いで式(5)に式(4)を代入のうえ、 I_p を右辺に移項して第1項の弾性項より H を求めれば次式が誘導される。

$$H = - \frac{\int_A^B \left\{ \frac{M_0(x + \delta_i^x)}{EI} \cdot (-y) + \frac{N_{0(i)}}{EA} \cdot \cos \varphi \right\} ds + I_p}{\int_A^B \left\{ \frac{y}{EI} \cdot (y - \delta_i^y) + \frac{\cos \varphi}{EA} \right\} ds} \quad \dots \dots \dots \quad (6)$$

式(6)の演算は、当初 δ_i^x, δ_i^y や I_p 中に含まれる第1、第2塑性領域長が未知なるゆえ、これらを零すなむかたわみを無視した弾性時の H を第1次近似値として用い、以後式(1a)～式(4)および弾塑性境界条件式⁽³⁾を併用する数値積分により繰返し試算で H を求めることとなる。

(2) 塑性領域に引き続き塑性ヒンジが生ずる場合

図-2 に示すごとく塑性領域の発生に引き続き C 点に塑性ヒンジが形成される場合は、E.T.Omat⁽³⁾ の導いた次のとき完全塑性条件式が成立する。

$$|m_c| = \begin{cases} \frac{3}{2} \left(1 - \frac{|n_c|}{2} \right), & |n_c| \leq 0.5 \\ \frac{9}{4} \left(1 - |n_c| \right), & |n_c| \geq 0.5 \end{cases} \quad \dots \dots \dots \quad (7)$$

式(7)に式(4)を代入のうえ水平反力 H を求めれば次式がえられる。

$$\frac{H}{N_y} = H = \begin{cases} \frac{3}{2} \left\{ 1 - \frac{n_{c(i)}}{2} \right\} - M_0(x_c + \delta_c^x), & |n_c| \leq 0.5 \\ \frac{3}{4} \cos \varphi_c - K_c \left(\frac{y_c - \delta_c^y}{l} \right), & |n_c| \leq 0.5 \\ \frac{9}{4} \left\{ 1 - n_{c(i)} \right\} - M_0(x_c + \delta_c^x), & |n_c| \geq 0.5 \\ \frac{9}{4} \cos \varphi_c - K_c \left(\frac{y_c - \delta_c^y}{l} \right), & |n_c| \geq 0.5 \end{cases} \quad \dots \dots \dots \quad (8)$$

ただし $K_c = N_c l / M_c = 6(l/d)$

式(8)の演算も当初 δ_c^x, δ_c^y が未知なるゆえ、式(1a)～式(4)および弾塑性境界条件式を用いる繰返し試算となる。

3. 解法の手順 ① データとしてアーチの半開角 α 、断面高さ-スパン比 d/l および降伏歪 ϵ_y ($= \sigma_y/E$) を与え、まず初期降伏荷重 P_0 と初期降伏の条件式 $|m| = 1 - |n|$ より求める。

② 次に $P > P_0$ になった状態に移り、たわみを無視した弾性時の H を求め、これを用いて第1、第2塑性領域の境界を指定する α_j ($j = 1, 2, \dots$) を弾塑性境界条件式より算出する。

③ ここでえた H や δ_j^x ($j = 1, 2, \dots$) を用いて式(1a), (1b)より δ_c^x, δ_c^y 、また式(5)の I_p をそれぞれ算定する。

④ δ_c^x, δ_c^y を式(6)に代入して H を数値積分により求め、これを用いて再び α_j ($j = 1, 2, \dots$) を算出する。

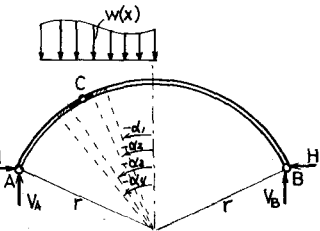


図-2

⑤以下③、④の操作を繰返すことにより H を収束させ、この収斂値を式(4)および式(la)、(lb)に代入すれば各断面の M_i 、 N_i および δ_i^x 、 δ_i^y がえられる。

⑥さらに荷重を増加させ、塑性ヒンジが形成される場合には式(8)より H を求め、以下アーチが崩壊機構を形成するときの荷重まで計算を続ける。

以上の解法の手順をフローチャートで示せば図-3のごとくである。

4. 計算例

図-4に示すごとき2ヒンジ円弧アーチの中央点Cに集中荷重 P が作用する場合について解析すれば以下のごとくである。

まず塑性領域のみ生ずる場合の水平反力 H は式(6)より次式となる。

$$\frac{H}{N_y} = H = \frac{(V_1 - D_A) V_A - \bar{I}_P / K_r}{V_2 - D_B} \quad (9)$$

ただし $V_A = P / 2N_y$, $K_r = N_y r / M_y = (l/d) \cdot (3 / \sin d_o)$

$$V_1 = \frac{\sin d_o}{2} - d_o \cos d_o \sin d_o - \cos^2 d_o + \cos d_o - \frac{3 \sin^2 d_o}{2 K_r},$$

$$V_2 = \frac{d_o}{2} - \frac{3}{2} \sin d_o \cos d_o + d_o \cos^2 d_o + \frac{3}{2 K_r} (d_o + \sin d_o \cos d_o),$$

$$D_A = \int_{-d_o}^0 (\cos \varphi - \cos d_o) \frac{\delta_i^x}{r} d\varphi \quad (10)$$

$$D_B = \int_{-d_o}^0 (\cos \varphi - \cos d_o) \frac{\delta_i^y}{r} d\varphi$$

$$\begin{aligned} \bar{I}_P &= \int_{-d_o}^0 \{ (\bar{E}_2 - \bar{E}_o) (\cos \varphi - \cos d_o) + R_d (\bar{E}_2 - \bar{E}_o) \cos \varphi \} d\varphi \\ &+ \int_{-d_1}^{d_1} \{ (\bar{E}_2 - \bar{E}_o) (\cos \varphi - \cos d_o) + R_d (\bar{E}_2 - \bar{E}_o) \cos \varphi \} d\varphi \\ &+ \int_{-d_2}^{-d_1} \{ (\bar{E}_2 - \bar{E}_o) (\cos \varphi - \cos d_o) + R_d (\bar{E}_2 - \bar{E}_o) \cos \varphi \} d\varphi \\ &+ \int_{-d_3}^{-d_2} \{ (\bar{E}_2 - \bar{E}_o) (\cos \varphi - \cos d_o) + R_d (\bar{E}_2 - \bar{E}_o) \cos \varphi \} d\varphi \\ &+ \int_{-d_4}^{-d_3} \{ (\bar{E}_2 - \bar{E}_o) (\cos \varphi - \cos d_o) + R_d (\bar{E}_2 - \bar{E}_o) \cos \varphi \} d\varphi, \end{aligned}$$

$$R_d = \frac{3}{K_r} = \frac{d}{2} \sin d_o.$$

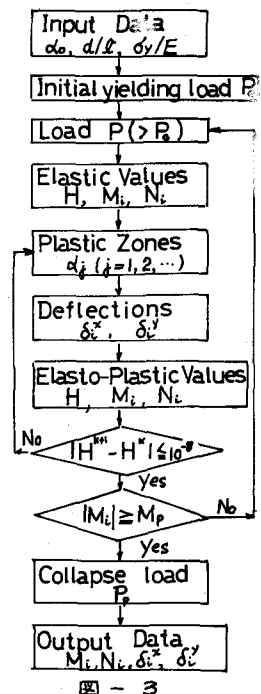


図-3

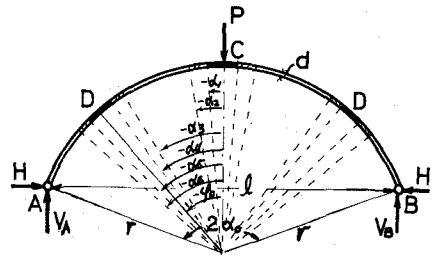


図-4

また任意点のたわみ δ_i^x および δ_i^y (式(la)および式(lb)より)それぞれ次式のごとく求められる。

$$\begin{aligned} \frac{\delta_i^x}{r} &= (\cos \varphi_i - \cos d_o) \cdot \theta_A - \frac{M_y r}{EI} \left[\int_{-d_o}^{d_o} \{ \bar{E}_o (\cos \varphi_i - \cos \varphi) + R_d (\bar{E}_2 - \bar{E}_o) \cos \varphi \} d\varphi \right. \\ &\quad \left. + \int_{-d_1}^{d_1} \{ (\bar{E}_2 - \bar{E}_o) (\cos \varphi_i - \cos \varphi) + R_d (\bar{E}_2 - \bar{E}_o) \cos \varphi \} d\varphi + \int_{-d_2}^{-d_1} \{ (\bar{E}_2 - \bar{E}_o) (\cos \varphi_i - \cos \varphi) + R_d (\bar{E}_2 - \bar{E}_o) \cos \varphi \} d\varphi \right. \\ &\quad \left. + \int_{-d_3}^{-d_2} \{ (\bar{E}_2 - \bar{E}_o) (\cos \varphi_i - \cos \varphi) + R_d (\bar{E}_2 - \bar{E}_o) \cos \varphi \} d\varphi + \int_{-d_4}^{-d_3} \{ (\bar{E}_2 - \bar{E}_o) (\cos \varphi_i - \cos \varphi) + R_d (\bar{E}_2 - \bar{E}_o) \cos \varphi \} d\varphi \right] \\ &\quad + \int_{-d_1}^{d_1} \{ (\bar{E}_2 - \bar{E}_o) (\cos \varphi_i - \cos \varphi) + R_d (\bar{E}_2 - \bar{E}_o) \cos \varphi \} d\varphi + \int_{-d_2}^{-d_1} \{ (\bar{E}_2 - \bar{E}_o) (\cos \varphi_i - \cos \varphi) + R_d (\bar{E}_2 - \bar{E}_o) \cos \varphi \} d\varphi \\ &\quad + \int_{-d_3}^{-d_2} \{ (\bar{E}_2 - \bar{E}_o) (\cos \varphi_i - \cos \varphi) + R_d (\bar{E}_2 - \bar{E}_o) \cos \varphi \} d\varphi + \int_{-d_4}^{-d_3} \{ (\bar{E}_2 - \bar{E}_o) (\cos \varphi_i - \cos \varphi) + R_d (\bar{E}_2 - \bar{E}_o) \cos \varphi \} d\varphi \end{aligned} \quad (11a)$$

$$\begin{aligned} \frac{\delta_i^y}{r} &= (\sin \varphi_i + \sin d_o) \cdot \theta_A - \frac{M_y r}{EI} \left[\int_{-d_o}^{d_o} \{ \bar{E}_o (\sin \varphi_i - \sin \varphi) + R_d (\bar{E}_2 - \bar{E}_o) \sin \varphi \} d\varphi \right. \\ &\quad \left. + \int_{-d_1}^{d_1} \{ (\bar{E}_2 - \bar{E}_o) (\sin \varphi_i - \sin \varphi) + R_d (\bar{E}_2 - \bar{E}_o) \sin \varphi \} d\varphi + \int_{-d_2}^{-d_1} \{ (\bar{E}_2 - \bar{E}_o) (\sin \varphi_i - \sin \varphi) + R_d (\bar{E}_2 - \bar{E}_o) \sin \varphi \} d\varphi \right. \\ &\quad \left. + \int_{-d_3}^{-d_2} \{ (\bar{E}_2 - \bar{E}_o) (\sin \varphi_i - \sin \varphi) + R_d (\bar{E}_2 - \bar{E}_o) \sin \varphi \} d\varphi + \int_{-d_4}^{-d_3} \{ (\bar{E}_2 - \bar{E}_o) (\sin \varphi_i - \sin \varphi) + R_d (\bar{E}_2 - \bar{E}_o) \sin \varphi \} d\varphi \right] \\ &\quad + \int_{-d_1}^{d_1} \{ (\bar{E}_2 - \bar{E}_o) (\sin \varphi_i - \sin \varphi) + R_d (\bar{E}_2 - \bar{E}_o) \sin \varphi \} d\varphi + \int_{-d_2}^{-d_1} \{ (\bar{E}_2 - \bar{E}_o) (\sin \varphi_i - \sin \varphi) + R_d (\bar{E}_2 - \bar{E}_o) \sin \varphi \} d\varphi \\ &\quad + \int_{-d_3}^{-d_2} \{ (\bar{E}_2 - \bar{E}_o) (\sin \varphi_i - \sin \varphi) + R_d (\bar{E}_2 - \bar{E}_o) \sin \varphi \} d\varphi + \int_{-d_4}^{-d_3} \{ (\bar{E}_2 - \bar{E}_o) (\sin \varphi_i - \sin \varphi) + R_d (\bar{E}_2 - \bar{E}_o) \sin \varphi \} d\varphi \end{aligned} \quad (11b)$$

式(Ia), (Iib)中の θ_A は対称条件 $\theta_C=0$ より次式をうる。

$$\theta_A = \frac{M_{b1}r}{EI} \left[\int_{-d_0}^0 (\bar{x}_0 - \bar{x}) d\varphi + \int_{-d_0}^{-d_0} (\bar{x}_0 - \bar{x}) d\varphi + \int_{-d_0}^{d_0} (\bar{x}_0 - \bar{x}) d\varphi + \int_{-d_0}^{d_0} (\bar{x} - \bar{x}_0) d\varphi + \int_{d_0}^{\infty} (\bar{x} - \bar{x}_0) d\varphi + \int_{-d_0}^{\infty} (\bar{x} - \bar{x}_0) d\varphi \right] \dots (12)$$

$$\text{ただし } M_b r / EI = (\sigma_y/E) \cdot (l/d) \cdot (1/\sin d_0)$$

次に中央点Cに塑性ヒンジが形成されるときの水平反力 H は式(8)より下記の式(13)となる。

$$\frac{H}{N_y} = H/l = \begin{cases} \frac{3/2 - Kr V_A \sin d_0 - Kr V_A (\delta_c^x/r)}{Kr(\cos d_0 - 1) + 3/4 + Kr(\delta_c^x/r)}, & |n_0| \leq 0.5 \\ \frac{9/4 - Kr V_A \sin d_0 - Kr V_A (\delta_c^x/r)}{Kr(\cos d_0 - 1) + 9/4 + Kr(\delta_c^x/r)}, & |n_0| \geq 0.5 \end{cases} \dots (13)$$

さらにC点に引き続き中点Dに塑性ヒンジが生ずると、本アーチは崩壊機構を形成することになるが、この崩壊荷重 P_p は式(4)および式(7)より次式のごとく求められる。

$$\frac{P_p}{N_y} = \begin{cases} \frac{3 - 3H \cos d_0/2 - 2Kr H \{ (\cos d_0 - \cos d_0) - \delta_0^x/r \}}{Kr(\sin d_0 - \sin d_0) + Kr(\delta_0^x/r) + 3 \sin d_0/4}, & |n_0| \leq 0.5 \\ \frac{9/2 (1 - H \cos d_0) - 2Kr H \{ (\cos d_0 - \cos d_0) - \delta_0^x/r \}}{Kr(\sin d_0 - \sin d_0) + Kr(\delta_0^x/r) + 9 \sin d_0/4}, & |n_0| \geq 0.5 \end{cases} \dots (14)$$

$$\text{ただし } \varphi_0 = \pi/2 - \tan^{-1}(H/V_A)$$

以上の誘導式を用いて $d_0=60^\circ$, $d/l=0.02$, $\sigma_y/E = 1.14 \times 10^3$ (SS41の場合)に対し、 $P=0.068N_y$ を与えて数値計算を行なえば、表-1および図-5に示すM, N-図がえられる。またたわみの影響を無視した場合と併記し両者を比較した。

なお、式(10)の数値積分を行なう際に際し、任意点の δ_c^x , δ_0^x をすべて電子計算機に記憶させる必要があり、このため本例では部材を40等分に区分して計算を行なった。

5. 結語

本論文では、たわみによる付加曲げモーメントの影響を考慮して2ヒンジ円弧アーチに対する弾塑性解析を行なったが、同様の手法により固定円弧アーチ、さらにバラボラアーチに対しても解析可能となる。また、本研究

ではひすみ硬化の影響を無視したが、かかる影響を考慮した解析については後日発表する予定である。なお、数値計算には本学電子計算機OKITA C-5090Hを使用した。

参考文献

1)高尾孝二：たわみの影響を考慮したアーチ橋の計算、第20回土木学会年次学術講演会講演概要、昭和40年5月

2)山崎・石川：円弧アーチの弾塑性解析、土木学会論文集第158号、昭和43年10月

3)E.T. Onat & W. Prager: Limit Analysis of Arches, Jour. of Mech. and Phys. of Solids, 1953

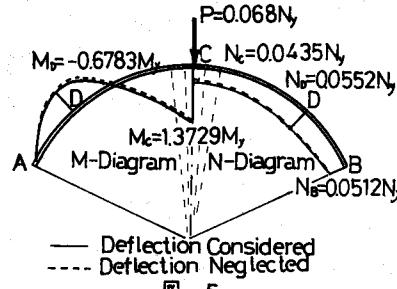


表-1 $P=0.068N_y$ の場合

	H/N_y	M_c/M_y	M_0/M_y	δ_c^x/r
①たわみ考慮	0.04354	1.3729	-0.6783	0.1375×10^3
②たわみ無視	0.04328	1.3528	-0.6834	0.1231×10^3
③=①②×100% ④	0.6%	1.5%	-0.7%	11.7%